



IRANIAN SOCIETY of  
CRYSTALLOGRAPHY  
and MINERALOGY

Vol. 16, No. 2, summer 1387/2008

IRANIAN JOURNAL of  
CRYSTALLOGRAPHY  
and MINERALOGY

## The geochemistry and mineralogy of North C ore body and Baghak anomaly and determination of two Pyrrhotite generations which are different in composition in Sangan mine, eastern Iran

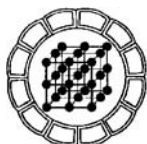
Sh. Kaheni, S. A. Mazaheri, M. H. Karimpour

Department of Geology, Faculty of sciences, Ferdowsi university of Mashhad-Iran  
shivakaheni@yahoo.com E-mail:

(Received: 7/5/2007, in revised form: 19/4/2008)

**Abstract:** Detailed studies are done in order to investigate the ore body in Sangan mine. Analyses results showed very low amount of gold in mineralized zone, (max 32 ppb). It is indicated that there is a positive relation between Au, S and As whereas there was no special relation between Au and Cu. Therefore Au can not be found along with Cu sulfides such as chalcopyrite. The LREE elements are higher than HREE in the ore body. Pyrrhotite has two generations which are distinguishable under the microscope: It might be formed either with or after magnetite formation. Careful XRD studies indicate that these two generations have different amounts of Fe and S.

**Keywords:** Magnetite, Pyrrhotite, Sulfide, Iron stone, Fe oxide type, Gold, Copper, Sulfur, Rare earth element (REE), XRD.



## بررسیهای ژئوشیمیایی و کانی‌شناسی سنگ آهن توده C شمالی و باغک در معدن سنگان خوف در شرق ایران و تعیین حضور دو نسل پیروتیت با ترکیب شیمیایی متفاوت

شیوا کاهنی، سید احمد مظاہری، محمدحسن کریم‌پور

گروه زمین‌شناسی، دانشکده علوم، دانشگاه فردوسی مشهد  
پست الکترونیکی: shivakaheni@yahoo.com

(دریافت مقاله: ۱۷/۲/۱۳۸۶، نسخه نهایی: ۳۱/۱/۱۳۸۷)

**چکیده:** نتایج تجزیه‌های ژئوشیمیایی مگنتیت موجود در کانسار سنگان خوف، نشان داد که عنصر طلا در بخش‌های کانی ساخته به مقادیر بسیار اندک وجود دارد، (با بیشینه ۳۲ ppb). با رسم نمودارهای مختلف مشخص شد که ارتباط مستقیمی بین میزان طلا، سولفور و آرسن وجود دارد، ولی چنین ارتباطی بین عنصر مس و طلا دیده نشد که نشان دهنده عدم حضور طلا همراه با سولفیدهای مس‌دار است. همچنین عناصر LREE در ماده معدنی، غنی شدگی نشان می‌دهد. پیروتیت در دونسل کانی-سازی، همراه با مگنتیت و پس از تشکیل آن در محیط بر جای گذاشته شده است. همچنین با استفاده از بررسیهای دقیق پرتو X و مطالعات بعدی مشخص شد که این دو نسل از لحاظ میزان آهن و سولفور متفاوتند.

**واژه‌های کلیدی:** مگنتیت، پیروتیت، سولفید، سنگ آهن، گونه Fe Oxide، عناصر خاکی کمیاب (REE)، XRD.

در چرخه‌های متفاوتی صورت گرفته است. با توجه به ثابت نبودن شرایط شیمیایی محیط کانیهای مربوط به هر نسل تفاوت‌هایی از لحاظ ترکیب شیمیایی نشان می‌دهند که آنالیزهای انجام شده XRD این مسئله را در مورد کانی‌پیروتیت نشان می‌دهد.

کانسارهای Iron Oxide توسط هیزم (2000) به دو گروه اصلی مگنتیت-آپانیت (که حاوی مقادیر بالایی از P، REE و Hستند) و گروه Fe Oxide Cu Au Deposit تقسیم شده‌اند [1].

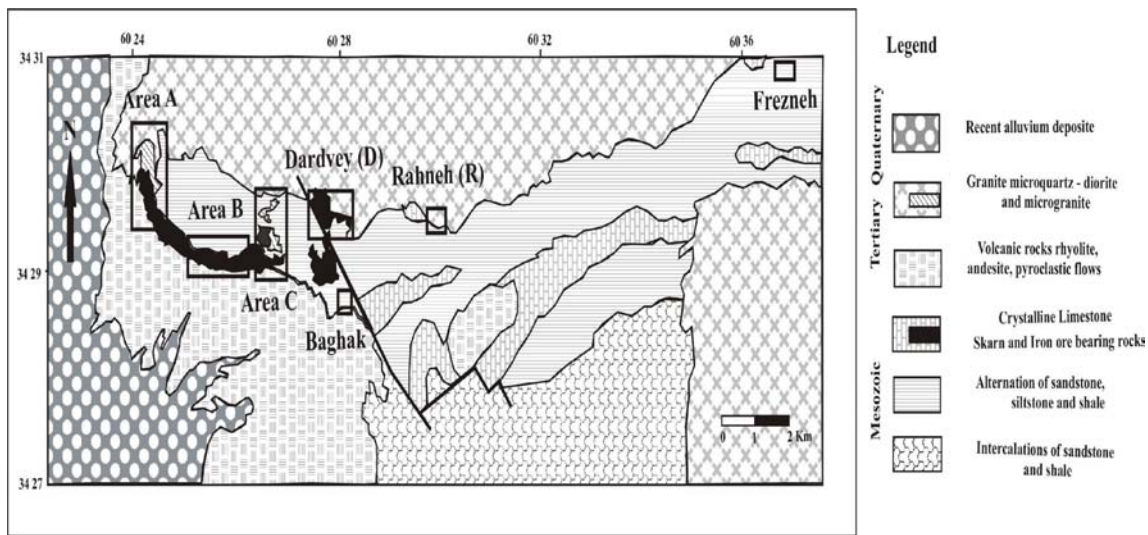
این دو گونه از بعضی لحاظ شباهت‌هایی با هم دارند و گاه در برخی مناطق همراه هم یافت می‌شوند [2-5]. در دهه اخیر بررسیهای زیادی بر روی گونه کانی ساخته ناهنجاریهای آنومالی‌های جدیدی علاوه بر اکسید آهن در کانسارهای مختلف یافته شده‌اند [6-7].

### مقدمه

کانسار سنگ آهن سنگان خوف در 280 کیلومتری جنوب شرقی مشهد، در گستره‌ای بین طولهای جغرافیایی  $24^{\circ}$  و  $45^{\circ}$  و عرضهای جغرافیایی  $33^{\circ}$  و  $34^{\circ}$  واقع است.

کانسار شامل سه بخش غربی (توده‌های A، B و C)، مرکزی (توده‌های دردوی D) و بخش شرقی (ناهنجاریهای رهنه R) و فرزنه است، (شکل 1). در حال حاضر بهره‌برداری از توده‌های باغک و A (تپه قرمز) صورت می‌گیرد.

کانی‌سازی آهن در این معدن به صورت مگنتیت است و عیار آهن به ۵۰ تا ۶۹٪ می‌رسد. در برخی بخشها مخصوصاً در توده C شمالی و باغک، مقادیر نسبتاً بالایی از کانیهای سولفیدی مانند پیریت، پیروتیت، و کالکوپیریت مشاهده می‌شوند. بررسیهای کانی‌شناسی دقیق نشان داد که کانی‌سازی در منطقه مراحل مختلفی را طی کرده است، و تشکیل هر کانی



شکل ۱ موقعیت زون‌های مختلف کانی‌سازی معدن سنگان، [18].

و به سمت شمال غرب امتداد دارد و وارد چهار گوش گناباد می‌شود. بلوک سوم که نسبت به بلوكهای دیگر از لحاظ اندازه کوچکتر است، کوه پیربنوش نام دارد و در شمال منطقه واقع شده است.

بنابراین این سه بلوک، بخش‌های مهم منطقه را از لحاظ زمین‌ساختی تشکیل می‌دهند. سنگ‌شناسی مناطق مورد مطالعه (توده C شمالی و باگک) بیشتر شامل سنگ‌های آذرین، ته نشتی و دگرگونی است. سنگ‌های آذرین مهمترین و گستردۀ‌ترین سنگ‌های منطقه هستند که خود شامل سنگ‌های آذرین درونی و بیرونی و نیمه عمیق‌اند. در گستره باگک و C شمالی حجم گسترهای از سنگ‌های آذرین نیمه عمیق با ترکیبات اسیدی است که بیشتر به صورت سیل و دایک و یا توده‌های کوچک‌اند. در شمال منطقه گرانیت سرنوسر وجود دارد که بخش جنوبی آن مورد مطالعه قرار گرفته است. سنگ‌های آذرین درونی از بیشتر بیوتیت گرانودیبوریت، سنگ‌های آذرین بیرونی و نیمه عمیق شامل بیوتیت مونزو-گرانیت پورفیری، آمفیبول مونزو-گرانیت پورفیری، کوارتز مونزو-نیت پورفیری، بیوتیت کوارتز مونزو-نیت پورفیری، آمفیبول کوارتز مونزو-نیت پورفیری، بیوتیت - آمفیبول کوارتز مونزو-نیت پورفیری، گرانودیبوریت پورفیری، بیوتیت کوارتز سینیت پورفیری، مونزو-دیبوریت پورفیری، مونزو-نیت پورفیری، آمفیبول مونزو-نیت پورفیری تشکیل شده است. با توجه به حضور مقادیر

در ایران نیز این گونه کانی‌سازی توسط کریم پور (1382) معرفی شد و کمربند تربت حیدریه - کاشمر - تایباد به عنوان کمربند Fe Oxide نامگذاری شده است [8].

نظر به اینکه کانسار سنگ آهن کانسار خوف یکی از مهمترین معادن آهن ایران به شمار می‌رود، لذا گونه کانی‌سازی آن به تفضیل مورد بررسی قرار گرفت، و بررسیهای ژئوشیمیایی دقیق‌تری بر روی عناصر مختلف در زونهای کانی‌سازی اکسیدی و سولفیدی آن صورت گرفت.

#### زمین‌شناسی منطقه

بنابر تقسیمات افتخارنژاد، (1359) که بر پایه چگونگی ساختاری حوضه‌های ته نشتی صورت گرفته است، منطقه سنگان خوف جزء ایران مرکزی است [10-9]. در اینجا نیز مثل بخش‌های دیگر ایران مرکزی، بیشتر گسل‌ها به صورت هورست و گراین دیده می‌شوند و محیط‌های ته نشتی را تشکیل داده‌اند.

بر پایه نقشه زمین‌شناسی 1:250000 تایباد، این منطقه شامل بلوكهایی است که از سنگ‌های قبل از نشوون تشکیل شده‌اند و با ته نشت‌های چین خوده نشوون که فروزنگی‌ها را پر کرده است، از هم جدا می‌شوند. بزرگ‌ترین بلوك که بخش بزرگی از منطقه را شامل می‌شود بلوك اصلی خوانده می‌شود و به صورت برآمدگی بزرگی در منطقه به چشم می‌خورد. بلوك بعدی کوه ناهور - سیناست که در بخش غربی منطقه قرار دارد

توده‌های معدنی A و C شمالی با داسیت پورفیری که در مجاورت گرانیت سرنوسر است، نیز تحت نفوذ قرار گرفته است.

#### روش مطالعه

به منظور بررسیهای ژئوشیمیایی بر روی عناصر اصلی، فرعی، و نادر در زونهای C شمالی و باغک، نمونه برداری از مغزه‌های حفاری صورت گرفت.

از آنجا که هدف اصلی از این آنالیز، بررسی وجود یا عدم وجود طلا همراه با کانی‌سازی مگنتیت بود و بنا بر اطلاعات موجود از معادن مشابه کانی‌سازی طلا بیشتر همراه با کانی-سازی‌های سولفیدی است، نمونه برداری بر زونهای سولفور بالا AAS متمرکز شد. به این طریق که با مطالعه نتایج آنالیزهای S, P, Fe در معدن صورت گرفته بود، بخشایی که دارای مقادیر سولفور بالاتری بودند مشخص شد و سعی بر این بود که نمونه‌های توده‌شده از بخش‌های مختلف سطحی و عمق باشد تا بتوان روند تغییرات را از سطح به عمق مورد بررسی قرار داد.

در نهایت تعداد 35 نمونه برای آنالیز انتخاب شدند که 8 نمونه پودر به منظور آنالیز دقیق عناصر Au, Ir, Os, Pd, Pt, به روش Rh, Ru Ce, Dy, Er, Eu, Gd, Ho, La, Lu, Nd, Pr, Sm Ba, Be, Ti, Fe, Tb, Yb, Tm, Cr, Cu, Mn, Ni, Sr, Zn Hg, Ag, As, B, Bi, Co, Mo, Pb, Sb, Sn, W ICP به آزمایشگاه Amdel استرالیا فرستاده شدند که نتایج آنالیزها در جداول 1 و 3 آورده شده‌اند و تعداد 27 نمونه نیز به روش AAS برای عناصر Cu, Ni, Co, Ba, Zn در آزمایشگاه شیمی تجزیه دانشگاه فردوسی مشهد آنالیز شدند (جدول 2).

به منظور بررسیهای سنگ‌شناختی تعداد 47 مقطع نازک - صیقلی و بلوك صیقلی تهیه و بررسی شدند. همچنین تعداد 15 بلوك صیقلی مربوط به بررسیهای قبلی گروه استرالیایی (BHP, 1990) مورد بازبینی و دوباره قرار گرفتند و تقدیم و تاخر فلزها و ویژگیهای ظاهری کانیها مورد توجه قرار گرفت. علاوه بر این تعداد دو نمونه که بررسیهای سنگ‌شناختی در آنها حضور دو نسل پیروتیت را نشان داده بودند، برای آنالیز به روش پراش پرتو X انتخاب شدند.

زیادی توده‌های آذرین درونی و نیمه عمیق، حضور فراوان سنگهای دگرگون، بعيد به نظر نمی‌رسد. بنابراین بخش بیشتری از سنگهای آذرین و ته نشستی تحت تاثیر دمای بالای این توده‌ها دگرگون شده و به سنگهای جدید تبدیل می‌شوند. این تغییرات بیشتر به صورت تبلور مجدد کانیها و یا تاثیر آبگونهای ماقمایی (متاسوماتیسم) در آن و تشکیل اسکارن است.

در منطقه مورد مطالعه مقادیر فراوانی شبه نشستی و هورنفلس، مخصوصاً در نزدیکی برخورد گاه با توده‌های نفوذی گرانیت‌ویدی یافت می‌شود. علاوه بر این کربناتها نیز به مرمر تبدیل شده‌اند. آهک به مرمر و دولومیتها و آهکهای منیزیم بالا به مرمر فورستریتی مبدل شده‌اند. سنگهای ته نشستی نیز به صورت سیلت و سنگهای کربناته هستند.

#### زمین‌شناسی گستره کانسار

قدیمی‌ترین سازندهای موجود در منطقه معدن شامل سیلتها و شیلها و ماسه سنگهای دگرنهاد و دگرگون شده زوراسیک زیرین با ضخامتی بیش از 500 متراند. رخمنونهای زیادی از آنها در بخش شمالی توده‌های معدنی با روند شرقی - غربی مشاهده می‌شوند.

کربنات‌های مرمری شده زوراسیک میانی که میزان مگنتیت است، دنباله قبلي را می‌پوشانند. در توده‌های C جنوبی این مرمرها با اسکارن جانشین شده‌اند ولی در توده‌های A و B مرمرها ضخامت زیادی دارند. سنگهای کربناتی با مجموعه بزرگی از سنگهای آتش‌شانی پوشیده شده‌اند که بیشتر شامل داسیت، ریوداسیت، پیروکلاستهای آندزیتی و سنگهای ولکانوکلاستیک‌اند. یک واحد انتقالی بین سنگهای کربناتی و سنگهای پیروکلاستیک با سن ائوسن وجود دارد. این واحد از آگلومرا و ولکانوکلاست‌ها با لیتوکلاستهای گرد شده تا نیمه زاویه‌دار از آهک، شیل، سیلت و ماسه سنگ تشکیل شده است.

در بخش شمالی توده‌های غربی گرانیت سرنوسر با سن ائوسن در سازندها نفوذ کرده است. چندین زون اسکارنی دقیقاً در مجاورت گرانیت وجود دارند ولی بخش بزرگی از توده معدنی دورتر از گرانیت تشکیل می‌شود. توده B (مهمترین توده معدنی معدن) دریک کیلومتری گرانیت سرنوسر قرار دارد.

**جدول 1** نتایج آنالیز شیمیایی نمونه‌های مگنتیتی از مغزه‌های حفاری مربوط به توده‌های باگک و C شمالی.

| SAMPLE    | Au   | As   | Co   | Cr   | Cu     | Mn   | Ni   | Sr   |
|-----------|------|------|------|------|--------|------|------|------|
| UNITS     | ppb  | ppm  | ppm  | ppm  | ppm    | ppm  | ppm  | ppm  |
| DETECTION | 1    | 0,5  | 0,2  | 2    | 0,2    | 5    | 2    | 0,1  |
| METHOD    | FA3  | IC3E | IC3E | IC3E | IC3E   | IC3E | IC3E | IC3E |
| SN-41     | 4    | 11,9 | 18,7 | 21   | 214    | 947  | 1    | 66,4 |
| SN-543    | 11   | 108  | 30,5 | 15   | 531    | 1410 | 9    | 10   |
| SN-570    | 5    | 17,8 | 64,9 | 28   | 733    | 944  | 32   | 13   |
| SN-586    | 8    | 30,1 | 295  | 37   | 692    | 768  | 42   | 10,9 |
| SN-615    | 32   | 378  | 355  | 35   | 31     | 1300 | 153  | 28,4 |
| SN-796    | 3    | 28,2 | 77,8 | 22   | 256    | 790  | 19   | 27   |
| SN-67-B   | 7    | 19,7 | 61,9 | 11   | 861    | 416  | 159  | 11,4 |
| SN-67-A   | 11   | 15,5 | 147  | 3    | 741    | 597  | 3    | 43,3 |
| <hr/>     |      |      |      |      |        |      |      |      |
| SAMPLE    | Zn   | Ba   | Be   | Ti   | Fe     | Hg   | Ag   | B    |
| UNITS     | ppm  | ppm  | ppm  | ppm  | ppm    | ppm  | ppm  | ppm  |
| DETECTION | 0,2  | 0,2  | 0,2  | 10   | 100    | 0,05 | 0,01 | 0,5  |
| METHOD    | IC3E | IC3E | IC3E | IC3E | IC3E   | IC3M | IC3M | IC3M |
| SN-41     | 105  | 11,9 | <    | 342  | 584000 | <    | 0,09 | <    |
| SN-543    | 49,9 | 23,3 | <    | 499  | 274000 | <    | 0,09 | <    |
| SN-570    | 84,2 | <    | 0,8  | 155  | 620000 | <    | 0,17 | <    |
| SN-586    | 74,9 | 30,8 | 0,7  | 125  | 660000 | <    | 0,04 | <    |
| SN-615    | 166  | 861  | 2,4  | 688  | 323000 | <    | 0,03 | <    |
| SN-796    | 57,9 | 2,8  | <    | 434  | 641000 | <    | <    | <    |
| SN-67-B   | 16,7 | 29,1 | 1    | 1130 | 242000 | <    | 0,17 | <    |
| SN-67-A   | 28,7 | 72,8 | <    | 695  | 520000 | <    | 0,13 | <    |
| <hr/>     |      |      |      |      |        |      |      |      |
| SAMPLE    | Bi   | Mo   | Pb   | Sb   | Sn     | W    |      |      |
| UNITS     | ppm  | ppm  | ppm  | ppm  | ppm    | ppm  |      |      |
| DETECTION | 0,1  | 0,1  | 0,2  | 0,1  | 0,2    | 0,1  |      |      |
| METHOD    | IC3M | IC3M | IC3M | IC3M | IC3M   | IC3M |      |      |
| SN-41     | 0,4  | 0,4  | 4,5  | 2,1  | 4,8    | 6,1  |      |      |
| SN-543    | 5,5  | 0,6  | 7,8  | 4,7  | 11,2   | 46,7 |      |      |
| SN-570    | 0,8  | 1,2  | 12,6 | 3,6  | 7,5    | 5,5  |      |      |
| SN-586    | 1,1  | 2,6  | 13,2 | 1,8  | 2      | 21,3 |      |      |
| SN-615    | 2,2  | 2,3  | 22,2 | 3,3  | 8,9    | 11,3 |      |      |
| SN-796    | 0,7  | 0,5  | 11,4 | 1,8  | 14,7   | 4,6  |      |      |
| SN-67-B   | 1    | 0,8  | 11,5 | 1,4  | 0,5    | 22,1 |      |      |
| SN-67-A   | 2    | 1,2  | 24,5 | 2,7  | 9      | 63,2 |      |      |

**جدول 2** نتایج آنالیزهای شیمیایی انجام شده بر روی نمونه‌های کانسنگ مغنتیتی توده‌های C شمالی و باگک با دستگاه AAS در گروه شیمی دانشگاه فردوسی بر حسب ppm

|       | Ag    | Cu      | Ni     | Co     | Zn     | Ba       | Bi    |
|-------|-------|---------|--------|--------|--------|----------|-------|
| BH127 | 4,02  | 173,05  | 35,7   | 43,55  | 52,55  | 22543,75 | 21,35 |
| BH127 | 5,6   | 50,2    | 61,9   | 104,4  | 89     | 2247,5   | 43,4  |
| BH128 | 5     | 238,55  | 25,1   | 49,7   | 54,3   | 17512,5  | 23,75 |
| BH128 | 7,15  | 224,45  | 25     | 52,4   | 65,25  | 19625    | 13,4  |
| BH193 | 5,1   | 251,4   | 28,6   | 54,3   | 87,2   | 16537,5  | 15,3  |
| BH193 | 5,9   | 100,25  | 23,8   | 52,15  | 96,75  | 27806,25 | 15,55 |
| BH218 | 4,95  | 348,25  | 17,77  | 72,8   | 61,35  | 21740,63 | 14,5  |
| BH218 | 3,7   | 218,05  | 22,75  | 63,8   | 113,15 | 29943,75 | 21,2  |
| BH220 | 5,75  | 250,8   | 21,8   | 89,1   | 64,1   | 26900    | 16,35 |
| BH123 | 4,5   | 433,45  | 21,45  | 91,4   | 78,75  | 29887,5  | 16,8  |
| BH123 | 5,25  | 156,65  | 23,05  | 41,7   | 66,65  | 16462,5  | 16,95 |
| BH136 | 4,1   | 202,8   | 16,5   | 28,15  | 60,55  | 9468,75  | 20,55 |
| BH136 | 3,02  | 169,425 | 12,175 | 27,22  | 65,35  | 18568,75 | 23,12 |
| BH217 | 4,95  | 84      | 22,95  | 41,95  | 81,4   | 24331,25 | 21,5  |
| BH217 | 6,45  | 210,7   | 24,5   | 60,25  | 127,85 | 29437,5  | 18,05 |
| BH118 | 4,7   | 920     | 18,65  | 56,1   | 2852,5 | 23575    | 22,7  |
| BH118 | 14,35 | 234,95  | 24,1   | 48,85  | 108,6  | 34375    | 22,15 |
| BH198 | 6,1   | 402,05  | 20,65  | 151,85 | 103,75 | 18781,25 | 8,95  |
| BH198 | 4,95  | 359,15  | 21,9   | 91,1   | 65,75  | 22162,5  | 14,45 |
| BK3   | 5,3   | 17,15   | 92,35  | 230,75 | 94,35  | 8905     | 11    |
| BK6   | 6,15  | 233,95  | 70,15  | 61,65  | 81,65  | 16337,5  | 22,9  |
| BK6   | 5,35  | 61,5    | 31,15  | 87,3   | 77,4   | 14575    | 26,3  |
| BK7   | 5,05  | 160,75  | 19,9   | 53,35  | 106,1  | 17550    | 31,25 |
| BK9   | 6,5   | 145,85  | 24,25  | 60,5   | 105,7  | 20625    | 49,1  |
| BK9   | 3,12  | 86,375  | 17,025 | 29,025 | 60,325 | 24837,5  | 17,1  |
| BK8   | 3,12  | 77,15   | 18,925 | 24,725 | 43,55  | 22475    | 16,52 |
| BK5   | 5,6   | 147,2   | 18,75  | 68,45  | 58,95  | 31406,25 | 17,8  |

**جدول 3** نتایج آنالیز شیمیایی عناصر خاکی کمیاب دو نمونه مغنتیتی از مغزه‌های حفاری توده C شمالی.

| SAMPLE    | Ce   | Dy   | Er   | Eu   | Gd   | Ho   | La   | Lu   | Nd   | Pr   |
|-----------|------|------|------|------|------|------|------|------|------|------|
| UNITS     | ppm  |
| DETECTION | 0,05 | 0,02 | 0,05 | 0,02 | 0,05 | 0,02 | 0,05 | 0,02 | 0,02 | 0,05 |
| METHOD    | IC3R |
| SN-67-B   | 3,74 | 0,57 | 0,45 | 0,04 | 0,53 | 0,12 | 0,99 | 0,17 | 2,36 | 0,46 |
| SN-67-A   | 8,52 | 0,58 | 0,36 | 0,11 | 0,67 | 0,12 | 3,43 | 0,07 | 3,2  | 0,86 |
| SAMPLE    | Sm   | Tb   | Tm   | Yb   | Ir   | Os   | Pd   | Pt   | Rh   | Ru   |
| UNITS     | ppm  | ppm  | ppm  | ppm  | ppb  | ppb  | ppb  | ppb  | ppb  | ppb  |
| DETECTION | 0,02 | 0,02 | 0,05 | 0,05 | 1    | 2    | 5    | 1    | 1    | 1    |
| METHOD    | IC3R | IC3R | IC3R | IC3R | FA4  | FA4  | FA4  | FA4  | FA4  | FA4  |
| SN-67-B   | 0,56 | 0,07 | 0,07 | 0,68 | 2    | <    | <    | 2    | 3    | 19   |
| SN-67-A   | 0,64 | 0,08 | <    | 0,44 | 1    | <    | <    | 10   | 3    | 8    |

طلاء در کانیهای سولفیدی مس دار مانند کالکوپیریت حضور نداشته، بلکه در کانیهای سولفیدی و آرسن دار فاقد مس مانند پیریت و آرسنو پیریت موجود است.

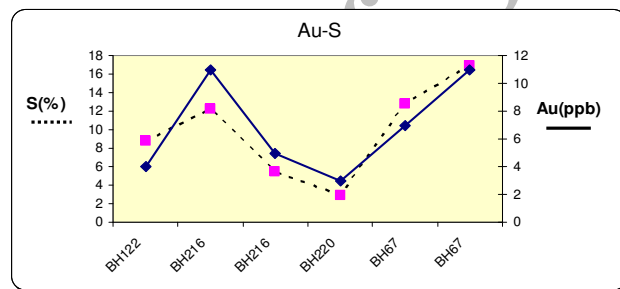
از طرف دیگر نتایج آنالیزها حضور ناهنجاری کوچکی از مس را تایید کرد که از 920 ppm تا 214 ppm در تغییرند. بررسی مقاطع صیقلی، حضور کانیهای مس دار مانند کالکوپیریت را در منطقه ثابت کرد. همچنان در برخی بخشها در زون برونز (supergene)، کانی کولولیت نیز مشاهده شد که حاصل هوازدگی کالکوپیریت بوده و به صورت حلقه‌ای پیرامون آن تشکیل شده است. میزان مس در کانسارهای مشهور دیگر نوع Fe Oxide مانند کوه زر تربت، کندل اریا، و المپیک دم بسیار بالاتر است و به 2 تا 3 درصد نیز می‌رسد.

#### بررسیهای ژئوشیمیایی

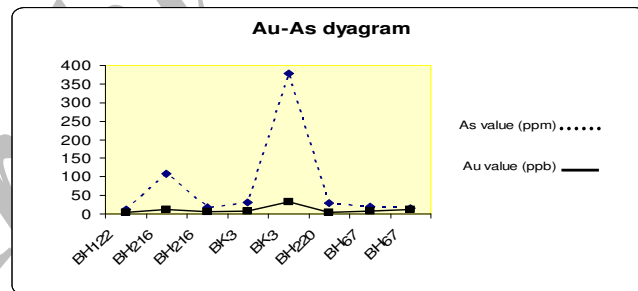
نتایج آنالیز نشان دادند که ناهنجاری بسیار جزئی از طلا در منطقه با سولفید بالا وجود دارد که بیشینه آن به 32 ppb در منطقه باغک می‌رسد. میزان طلا در کانسارهای دیگر نوع Fe Oxide مانند کوه زر تربت حیدریه، کندل اریا و المپیک دم بسیار بالاتر است و این یکی از تفاوت‌های سنتگان با معادن یاد شده است.

با رسم نمودار طلا نسبت به سولفور یک روند مثبت مشاهده می‌شود (شکل 2)، بنابراین حضور طلا همراه کانی سازی سولفیدی تأیید می‌شود. همچنان ارتباط مشابهی بین عناصر طلا و آرسن وجود دارد و با افزایش میزان آرسن، میزان طلا هم افزایش می‌یابد، (شکل 3).

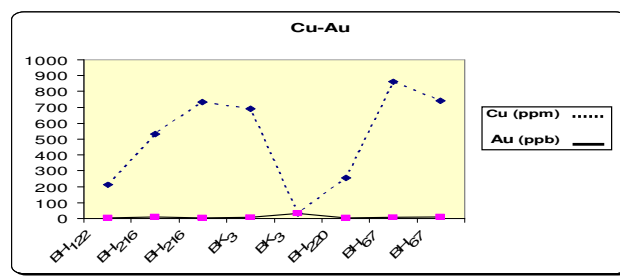
رسم نمودار Cu نسبت به Au ارتباط مستقیم بین این دو عنصر را نشان نداد (شکل 4) که احتمالاً حاکی از این است که



شکل 2 رابطه مستقیم بین Au-S در نمونه‌هایی از کانسنتگ توده C.



شکل 3 رابطه مستقیم Au-As در نمونه‌هایی از کانسنتگ توده C و باغک.



شکل 4 رابطه معکوس Au-Cu در نمونه‌هایی از کانسنتگ توده C و باغک.

کمیاب در سیستمهای گرمایی غنی از فلور قابلیت انتقال پیدا می‌کند، کاهش F منجر به کم شدن REE می‌شود، [12].

#### کانی‌شناسی منطقه

کانی‌سازی در منطقه سنگان از نوع گرمایی است و آبگونهای کانی ساز از محل گسل‌ها وارد شده، و در سنگ میزبان کربناتی جانشین می‌شوند که پردازش تصاویر ماهواره‌ای نیز عملکرد گسلها را در منطقه تایید می‌کند (شکل 6). کانی کدر اصلی مگنتیت است که به تنها یا همراه با هماتیت، لیمونیت، پیریت، کالکوپیریت، پیروتیت، اسفالریت و کوولیت در منطقه حضور دارد. مهمترین کانی شفاف موجود کربناتها هستند که بیشتر به صورت دولومیت یا آهک منیزیم دار مشاهده می‌شوند. کانیهای شفاف دیگر عبارتند از: فلوگوپیت، آمفیبول، سرپانتین، کلریت، و الیوین.

کانی‌سازی در کانسار سنگان مراحل متعددی را طی کرده است و تشکیل هر کانی در چرخه‌های متفاوتی صورت گرفته است که در ادامه به بررسی این مطلب می‌پردازیم.

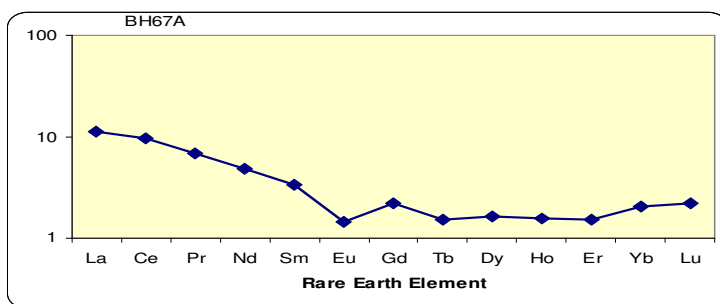
**مگنتیت:** مگنتیت فراوانترین و مهمترین کانی موجود در منطقه است (90-30٪) و جزء نخستین فازهای ته نشین شده است. بافت مگنتیت بسیار متنوع است، به طوری که در مقاطع مختلف بیشتر به صورت جانشینی با بافت متراکم و توده‌ای (شکل 7) و گاه به صورت پراکنده در متن سنگ قابل مشاهده است.

**هماتیت:** هماتیت در دو نسل قابل بررسی است: 1- هماتیتهای حاصل از هوازدگی مگنتیت که در نمونه‌های سطحی به مقادیر زیادی قابل مشاهده است، (شکل 8). 2- هماتیتهای حاصل از حلول‌های گرمایی جدیدتر که در شرایط اکسیدان تشکیل شده‌اند، این هماتیتها به صورت رگچه‌ای هستند.

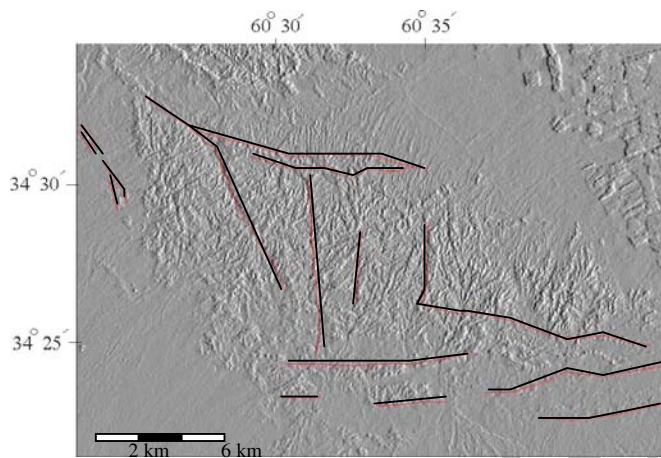
باریم در مناطق مورد مطالعه ناهنجاری نشان می‌دهد و به 3٪ نیز می‌رسد که تائید کننده حضور باریت در این منطقه است. عنصر کبات در منطقه باگ نیز ناهنجاری نشان می‌دهد به طوری که مقدار آن به بیشینه ppm 355 می‌رسد و در توده C شمالی 151 ppm است. با توجه به اینکه کانی‌سازی کبات در بررسی مقاطع صیقلی مشاهده نشد، می‌توان انتظار داشت که کبات در ساختار کانی‌ها دیگر مانند سولفیدها و یا مگنتیت حضور داشته باشد. کبات و نیکل رابطه مستقیمی با هم دارند. عنصر روی نیز در چند نمونه ناهنجاری نشان می‌دهد که مربوط به کانی‌سازی اسفالریت است که به صورت بسیار جزئی در بیلوكهای صیقلی مشاهده شده است.

همچنین بین مس و مولیبدن رابطه نسبتاً مستقیمی وجود دارد که نشان دهنده همراهی این دو عنصر است.

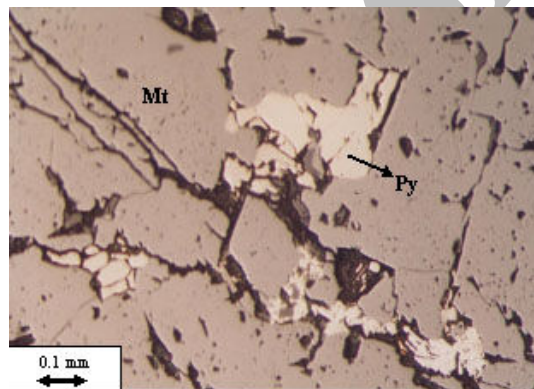
رسم نمودارهای عنکبوتی عناصر کمیاب موجود در زونهای کانی‌سازی پس از بهنجار شدن با کندریت، یک شب منفی را نشان داد که بیان گرفنی شدگی از عناصر خاکی کمیاب سبک (LREE) (نسبت به عناصر خاکی کمیاب سنگین (HREE) است (شکل 5) غنی شدگی از LREE احتملاً به علت حضور آپاتیت (به مقدار اندک) در منطقه است، زیرا این عناصر بیشتر در کانی آپاتیت متمرکز می‌شوند. پایین بودن میزان REE در منطقه را می‌توان به دو صورت تفسیر کرد: نخست اینکه ماغماهای اولیه که منجر به تشکیل کانسار شده است حاوی مقدار اندکی عناصر خاکی کمیاب بوده است، و در نتیجه کانیهای حاصله نیز از REE غنی شدگی نشان نمی‌دهند و دوم اینکه حضور مقادیر جزئی REE می‌تواند به افزایش میزان اکسید کلسیم در محلول کانه ساز مربوط باشد که این امر باعث رقیق شدن همبافت‌های فلوریدی و یا کاهش نسبت F/Ca می‌شود، [11]. از آنجا که در این نوع کانسارها عناصر خاکی



شکل 5 روند تغییرات REE در نمونه شماره BH67A



شکل 6 تصویر ماهواره‌ای گسلهای منطقه مورد مطالعه.



شکل 7 بافت متراکم در مگنتیت.



شکل 8 جانشینی هماتیت در پیرامون مگنتیت، نور بازتابی و PPL

دانه‌ای و پراکنده در زمینه مگنتیت و هرزه سنگ است و بافت‌های دیگر عبارتند از: بافت خوش انگوری، بافت پویکیلیتی و بافت حاشیه‌ای که حاصل تبدیل پیریت به پیریت است [13] (شکل 9). به طور کلی می‌توان پیریت‌های موجود در منطقه را

پیریت: پیریت فراوان ترین کانی سولفیدی در مناطق مورد مطالعه است. بافت پیریتها نیز تنوع زیادی دارد و به اشکال مختلف دیده می‌شوند که همه این بافت‌ها حاصل جانشینی پیریت دیده می‌شوند که همه این بافت‌ها حاصل جانشینی پیریت در سنگ‌های کربناته است. مهم ترین بافت موجود

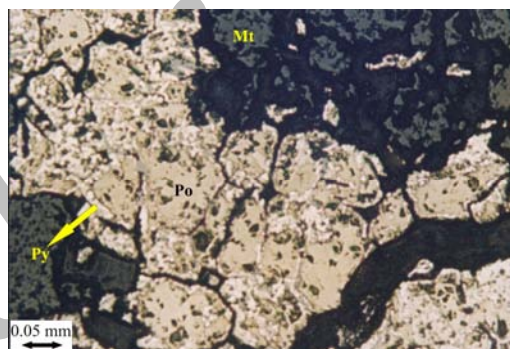
بافت غالب افshan است که بلورهای پیروتیت در زمینه مگنتیت پراکنده‌اند. بافت توده‌ای نیز در پیروتیتها مشاهده می‌شود. حضور پیروتیتها سالم و پیروتیها دگرسان که همراه یکدیگر و در کنار هم هستند احتمالاً بیانگر حضور دو نسل پیروتیت است که بررسیهایی که به روش XRD انجام گرفت این مطلب را تایید کرد و در ادامه به بررسی آن می‌پردازیم.

**کالکوپیریت:** کالکوپیریت یکی از کانیهای سولفیدی است که به مقادیر اندک (۱ تا ۳ درصد) همراه مگنتیت و کانیهای سولفیدی دیگر مشاهده می‌شود و در مراحل نهایی کانی سازی تشکیل شده است. بلورهای کالکوپیریت دارای شکل مشخصی نیستند و بیشتر به صورت پرکننده فضای خالی در درون و یا پیرامون مگنتیت، پیریت، پیروتیت، و کانیهای هرزه حضور دارد. بافت کالکوپیریت پراکنده و دانه‌ای است. بلورهای کالکوپیریت در شرایط اکسایش و در اثر فرایندهای ابرپرزن به کانی کوولیت تبدیل می‌شود که این تبدیل از حاشیه بلور آغاز می‌شود [13].

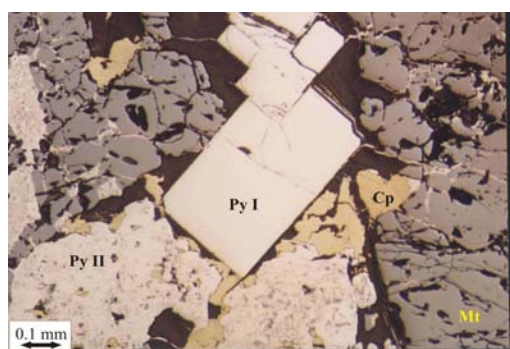
به چهار نسل تقسیم کرد: ۱- پیریتها اولیه: این پیریتها همزمان با تشکیل مگنتیت به وجود آمده‌اند و فضای کافی برای رشد آنها وجود داشته است، بنابراین اشکال کاملاً یوهیدرال دارند [14]. علاوه بر این اندازه این پیریتها نیز نسبت به پیریتها درشت‌تر است. ۲- پیریتها نسل دوم: این پیریتها پس از تشکیل مگنتیت ایجاد شده‌اند. این نسل قادر اشکال یوهیدرالند. ۳- پیریتها ثانویه: پیریتها ثانویه حاصل تغییر ماهیت پیروتیتها هستند، به این صورت که در اثر تغییرات شیمی محیط، پیروتیت از حاشیه شروع به تغییر ماهیت کرده و به پیریت تبدیل می‌شود. با پیشرفت این دگرسانی پیروتیت کاملاً به پیریت مبدل می‌شود (شکلهای ۱۱ و ۱۰).

۴- پیریتها رگچه‌ای: پیریتها رگچه‌ای از فراوان‌ترین پیریتها موجودند. این پیریتها فضاهای خالی و درزه و شکافهای موجود را پر می‌کنند و گاهی پیریتها مراحل پیش را قطع می‌کنند.

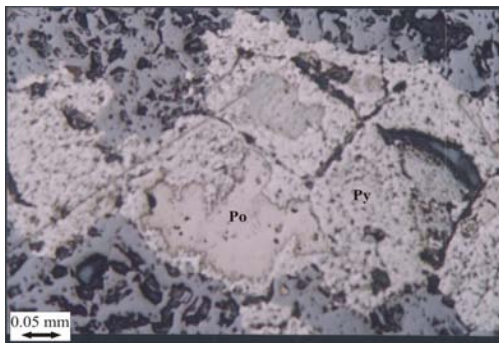
**پیروتیت:** بافت‌های متنوعی در پیروتیتها قابل مشاهده‌اند که حاصل جانشینی پیروتی در سنگهای کربناتی است [15-16].



شکل ۹ بافت حاشیه‌ای پیریت در پیرامون پیروتیت، نور بازتابی و PPL.



شکل ۱۰ پیریتها یوهیدرال نسل اول (Py I) و پیریتها آن هیدرال نسل دوم (Py II)، نور بازتابی و PPL.



شکل ۱۱. پیریت نسل سوم حاصل از پیروتیت، نور بازتابی و PPL.

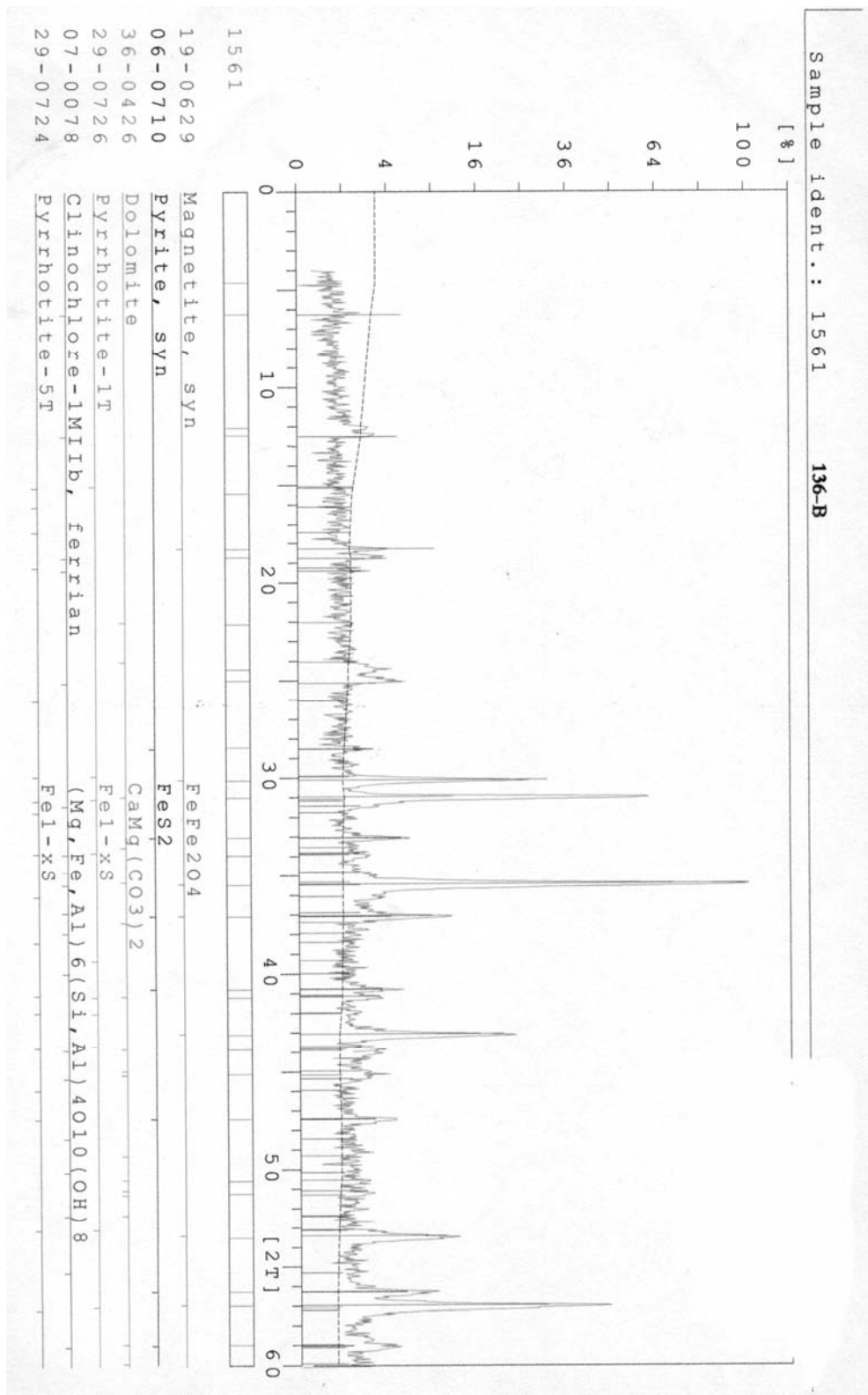
بررسیهای ژئوشیمیایی نشان داد که کانسنگ توده‌های C شمالی و باغک، ناهنجاری‌های بسیار ضعیفی از طلا نشان می‌دهند که بنابر این نمی‌توان از آن برای استخراج طلا استفاده کرد. در این کانسار عنصر طلا با مس همراهی نشان نمی‌دهد، بنابراین در ساختار کانی کالکوپیریت حضور ندارد بلکه با توجه به رابطه مستقیم بین طلا با سولفور و آرسن، این عنصر در کانیهای سولفیدی و آرسن دار قادر مس مانند پیریت و آرسن پیریت موجود است.

در کانسنگ حاوی مگنتیت عناصر خاکی کمیاب اندک بوده و مقادیر LREE نسبت به HREE بالاتر است. غنی شدگی از LREE احتمالاً به علت حضور آپاتیت (به مقدار اندک) در منطقه است زیرا این عناصر بیشتر در کانی آپاتیت متتمرکز می‌شوند. در نهایت با بررسیهای دقیق ژئوشیمیایی، نوع کانی سازی این کانسار از نوع کیرونا با طلا و فسفر و REE پایین تعیین شده است.

بررسیهای کانی‌شناسی نشان داد که پیریتهای این منطقه را می‌توان مربوط به چهار نسل دانست: نسل اول پیریتهای یوهیدرال که همزمان با تشکیل مگنتیتها ایجاد شده‌اند، نسل دوم پیریتهای بی‌شکل، نسل سوم پیریتهای حاصل از پیروتیت که گاه بافت حاشیه‌ای نشان می‌دهند و نسل چهارم پیریتهای رگچه‌ای. پیروتیت‌ها نیز در دو نسل مختلف مشاهده می‌شوند: نسل اول قدیمی تر، و همزمان با مگنتیت تشکیل شده است و نسل دوم که در حال تبدیل به پیریت است، جوان‌تر بوده و در مرحله بعد ایجاد شده است. آنالیز کانسنگ به روش XRD نیز حضور دو نسل پیروتیت را تأیید کرده است و بررسیهای بعدی نشان داد که نسل اول و نسل دوم از لحاظ ترکیب شیمیایی متفاوتند.

تعیین دو نسل پیروتیت با تصویر برداری با پرتو X در طول بررسیهای مقاطع صیقلی توده‌های C شمالی و باغک، پیروتیتها مورد توجه قرار گرفت. این کانیها خصوصیات ویژه‌ای نشان می‌دادند به طوری که دسته‌ای از آنها کاملاً دگرسان شده و در حال تبدیل به پیریت بودند و گه گاهی این تبدیل در مراحل نهایی بود و در همان مقطع بلورهای دیگری با سرشیهایا پتیکی، پیروتیت مشاهده می‌شد که برخوردگاه تیزی با مگنتیتها داشته و کاملاً سالم و بدون هرگونه آلتراسیون بود. به نظر می‌رسید این کانی احتمالاً ترکیب جدید و ناشناخته با خصوصیات نوری مشابه پیروتیت باشد و با توجه به این که مقدار آنها بیش از ۵٪ بود نمونه ای به منظور آنالیز XRD انتخاب شده و مورد بررسی قرار گرفت. نتایج نشان داد که در این نمونه دو نوع پیروتیت با ویژگیهای ساختاری متفاوت وجود دارند، (شکل ۱۲). با بررسی ابعاد شبکه (پارامتر سلولی) معلوم شد که این دو پیروتیت از لحاظ ابعاد بلورین با هم متفاوتند، به طوری که در پیروتیت نوع اول ابعاد بلور به صورت  $a = 6,88$  و  $c = 28,67$  و در نوع دوم  $a = 6,89$  و  $c = 63,22$  است، ولی سیستم تبلور در هر دو نمونه ششگوشی تعیین شده است، [14-16] (شکل ۱۳ و ۱۴).

با توجه به مطالب یاد شده و بررسی فراوان پیرامون دلیل تفاوت این دو نوع پیروتیت نتایج جالبی حاصل شد. بنابر نظریه زوزمن، (1996) افزایش کمبود آهن منجر به کاهش در پارامتر سلولی پیروتیت می‌شود [17]، بنابراین می‌توان نتیجه گرفت که پیروتیت نوع اول که ابعاد کوچک‌تری دارد، مقدار آهن کمتری در ساختار آن موجود است ولی پیروتیت نوع دوم ابعاد بزرگ‌تری دارد و میزان آهن موجود در آن بیشتر است. برداشت



تصویری از

کانسینگ توده C شمالی با پرتو X

شکل 12

شکل 13 مشخصات پیروتیت نوع اول.

|   |  |                          |                 |
|---|--|--------------------------|-----------------|
| 29-0726   |  | Wavelength= 1.9373       |                 |
| FeI-xS  |  | d <sup>1</sup> Int h k l |                 |
| Iron Sulfide                                      |  | 5.8800 3 1 0 2           |                 |
|   |  | 2.9880 35 2 0 0          |                 |
|   |  | 2.8770 2 0 0.22          |                 |
| Pyrrohotite-1T                                    |  | 2.6510 60 2 0 11         |                 |
| Rad.: FeKa 1: 1.9373                              | d-sp:                                  | 2.2900 <1 2 0 18         |                 |
| Cut off: Int.: Diffract.                          | I/Icor.:                               | 2.1910 <1 2 1 7          |                 |
| Ref: Morimoto et al., Econ. Geol., 70, 824 (1975) |  | 2.1490 <1 2 1 9          |                 |
|   |  | 2.0710 100 2 0 22        |                 |
|   |  | 1.7240 35 2 2 0          |                 |
|   |  | 1.6130 8 2 0.33          |                 |
| Sys.: Hexagonal                                   | S.G.: P                                | 1.4940 <1 3 0 28         |                 |
| a: 6.8969   | b: c: 63.222                           | A: C: 9.1667             | 1.4450 4 4 0 11 |
| a:  | b:                                     | c:                       | 1.4370 4 0 0.44 |
|   |  |                          | 1.3250 7 4 0.22 |
| Ref: Ibid.  |  | 1.2950 2 2 0.44          |                 |
| Dx: 4.650   | Dm: SS/FOM 2 <sup>-1</sup> ( .044,724) | 1.1780 2 4 0.33          |                 |
|   |  | 1.1080 4 2 0.53          |                 |
|   |  | 1.1040 8 2 2.44          |                 |
|   |  | 1.0730 1 1 1.56          |                 |
|   |  | 1.0500 5 4 2.22          |                 |
|   |  | .99500 2 6 0 2           |                 |

سمل 14 مسح صاف پیرویت نوع دوم.

1, Australian mineral foundation, Adelaide (2002)

pp. 283-296.

[3] Dow Russell J., Hitzman Murray, *Geology of the Arizaro and lindero prospects, Salta province, northwest Argentina: Mid- Miocene hydrothermal fe oxide copper-gold mineralization, Hydrothermal Iron oxide copper-gold and related deposits: a*

مراجع

- [1] Hitzman M.W., "Iron oxide-Cu-Au deposits: What, where, when and why.", Australian mineral foundation, Adelide, P. 9-25(2000).

[2] Carlon Christopher J., American Anglo, *Iron oxide systems and base metal mineralization in the northern Sweden, Hydrothermal Iron oxide copper-gold and related deposits: a global perspective*, V.

- [14] Klein Cornelis, Hurlbut Cornelius, "Manual of mineralogy", Wiley, 1985, pp. 596.
- [15] Nkoma J.S., Ekosse G., "Mineral data", Pyrrhotite.
- [16] Nkoma J. S., Ekosse G., "X-ray diffraction study of chalcopyrite, pentlandite and pyrrhotite obtained from Cu-Ni ore bodies", J. Phys, 1999, pp. 121-128.
- [17] Howie, Zussman, "An introduction to the rock forming minerals", Long man (1995-1996)
- [18] Mazaheri Ahmad, "Petrological studies of skarns from Marulan south, New south wales, Australia and Sangar, Khorassan, Iran", Univ of Wollongong, Ph.D thesis. (1995).
- [19] global perspective", V. 2, Australian mineral foundation, Adelaide (2002) pp. 153-161.
- [20] Hildebrand R., "Kirona type deposit: their origin and relationship to intermediate subvolcanic plutons in the Great bear magmatic zone", north west Canada. Economic geology, V. 81, (1986) P. 640-659.
- [21] Hitzman Murray, "Oreskes Naomi, Einaudi Marco, Geological characteristics and tectonic setting of proterozoic Iron oxide (Cu-U- Au-REE) deposits", Precambrian research, V. 58, 1992. pp. 241-287.
- [22] Barnes Hubert, "geochemistry of hydrothermal ore deposits", 1979.
- [23] Barton Mark D., Johnson David A., "Alternative brine sources for fe oxide Cu-Au systems: Implications for hydrothermal alteration and metals, Hydrothermal Iron oxide copper-gold and related deposits: a global perspective", V. 1, Australian mineral foundation, Adelaide, 2002, pp. 43-60
- [24] [8] کریم پور محمد حسن ، "کائی شناسی، آلتراسیون، سنگ منشا و محیط تکتونیکی ذخایر Fe oxide Cu-Au و مثال-های از آن" ، دانشگاه یزد، 1382، 184-187 ص.
- [25] [9] افتخارنژاد ج، "تفکیک بخش‌های مختلف ایران از نظر وضع ساختمانی در ارتباط با حوضه‌ها روسیه" ، نشریه انجمان نفت، 1359، صفحه 19 - 28
- [26] [10] علوی م، "نقشه تکتونیکی مرکز و شرق ایران 1:5000000" ، اکتشافات زمین‌شناسی ایران، 1991.
- [27] [11] طباطبایی رضایی میر داود، علیجان آفتابی، "بررسی تمکز عناصر مختلف در واحدهای اسکارن، ژرف زاد، غنی شدگی ثانویه سولفیدی و فروشست- اکسیدی و برآورد ذخیره در کانسال سونگون، اهر، آذربایجان" ، بیست و یکمین گردهمایی علوم زمین، تهران، 1381.
- [28] [12] Oreskes N., Einaudi M., "Origin of rare earth element – enriched Hematite breccias at the Olampic dam Cu-Au-U-Ag deposit", Roxby Downs, south Australia. Economic geology, V. 85, (1990), P. 1-28.
- [29] [13] Ramdohr P., "The ore minerals and their intergrowth", Pergamon/Press, 1980.